

سنتر نانو پودر کامپوزیتی SiC-TiC به روش سل ژل و احیای کربوترمال

محمد فضلی^{۱*}، حسین سرپولکی^۲

^۱ کارشناسی ارشد مهندسی مواد و متالورژی، دانشگاه علم و صنعت ایران

^۲ استاد، دانشگاه علم و صنعت ایران

* fazli1412@yahoo.com

چکیده:

در سال‌های اخیر، نانوکامپوزیت SiC-TiC با توجه به خواص مکانیکی و الکتریکی بسیار خوب در دمای بالا، بسیار مورد توجه قرار گرفته است. در تحقیق حاضر نانو پودر کامپوزیتی SiC-TiC به روش سل ژل و با استفاده از تیتانیوم ایزوپروپوکساید، تنرا اتیل اورتوسیلیکات، ساکاروز و اسید نیتریک سنتر شد. مواد اولیه توزین و در ۰°C مخلوط شدند که پس از ۵ ساعت، گرانوژی محلول بتدریج افزایش یافته و در نهایت به ژل تبدیل شد. ژل حاصل پس از خشک شدن در دمای ۱۱۰°C، در دمای ۱۵۰°C تحت اتمسفر آرگون به مدت ۱ ساعت قرار گرفت. آنالیز حرارتی ژل حاصل از دمای محیط تا ۱۳۰°C نشان دهنده تجزیه گروه‌های آلی در محلوده دمایی ۴۰۰-۲۰۰°C و کربونیزه شدن ساکارز است. آنالیز اشعه ایکس (XRD)، حاکی از تشکیل SiC و TiC به ترتیب از واکنش سیلیکایی آمورف و تیتانیا با کربن در دمای ۱۵۰°C است. برای اندازه‌گیری ابعاد و مورفولوژی پودر، از میکروسکوپ الکترونی روشنی گسیل میدانی (FESEM) استفاده گردید. اندازه ذرات پودر بیش از ۱۰۰ نانومتر بدست آمد.

اطلاعات مقاله:

دربافت: ۸ مرداد ۱۳۹۶

پذیرش: ۶ خرداد ۱۳۹۷

کلید واژه:

نانو کامپوزیت SiC-TiC، سل ژل

(۲۵۴۵°C)، مقاومت به اکسیداسیون خوب، مقاومت به خوردگی زیاد (در محیط‌های جوشان HF، H₂SO₄، HCl)، خوردگی HF+HNO₃ و محلول غلیظ سود سوزآور هیچ گونه خوردگی نشان نمی‌دهد)، مقاومت به سایش و هدایت حرارتی خوب (W/m.K: ۱۴۵-۱۴۳) در صنایع مختلف (قطعات پمپ، مبدل‌های حرارتی و پره‌های سرامیکی و...) دارای کاربردهای متنوع است [۲]. مواد سرامیکی کاربیدی مثل کاربید تیتانیوم مواد پیشرفتی‌ای با خواص استثنایی هستند که به دلیل، هدایت الکتریکی

۱- مقدمه

امروزه اهمیت و کاربردهای دیرگداز سریعاً در حال رشد است و این نه تنها از جنبه تجاری بلکه براساس کاربردهای دیرگدازی و مقاومت سایشی آن‌ها از قبیل ابزارهای برشی و سایندها است. این کاربیدها دارای سختی بالا (۱۸۱۰-۳۹۲۸°C - ۳۵ GPa)، نقطه ذوب بالا (۱۵/۵ - ۱۵/۵)، مقاوم به شوک حرارتی می‌باشند [۱]. کاربید سیلیسیم به دلیل خواص منحصر به فردی نقطه ذوب بالا



دیگری که در سنتز این ذرات بسیار حائز اهمیت است، و در مراحل مختلف سنتز بر تشكیل ذرات و خواص نهایی آنها نقش تعیین کننده‌ای دارد. به عنوان مثال سرویس و همکارانش [۷] با استفاده از مواد پیش سازنده سل سیلیکا و منبع کربنی ساکاروز با تغییر دما توانستند ذرات β -SiC را با دانه بندی ($0.2 \mu\text{m}$) با درجه خلوص بالا سنتز کنند. همینطور رامان و همکاران [۸] با استفاده از پیش سازنده‌های مختلف و شرایط دمایی گوناگون ذرات β -SiC را سنتز کردند. نجفی و همکاران [۹] در سال ۲۰۱۱ پودر β -SiC با پیش سازنده‌های تتراتوکسی سیلان به عنوان منبع سیلیکون و رزین فولیک به عنوان منبع کربنی، در دمای 1500°C با دانه بندی ($30 - 20$ نانومتر) تهیه کردند. آنچه که در مورد نوع فرآیند در تولید ذرات کاربید تیتانیوم مورد بررسی قرار گرفته است بیشتر شامل روش احیای کربوترمال پودرهای تیتانیا و منابع مختلف کربنی است و در مورد فرآیند سنتز کاربید تیتانیوم به روش سل ژل، تحقیقات اندکی صورت گرفته است به عنوان مثال گُک و همکاران [۱۰]، ذرات TiC را با استفاده از پیش سازنده تیتانیا در حضور گاز هیدروکربنی (C_3H_6) سنتز کردند که در این فرآیند در اثر تجزیه گاز C_3H_6 ، کربن بر روی سطح ذرات تیتانیا رسوب کرده و ذرات TiC با خلوص بالایی بدست آمدند. همچنین وو و همکاران [۱۱] با استفاده از روش احیای کربوترمال پودرهای تیتانیا و رزین، ذرات TiC را در دمای 1500°C و در زمان‌های مختلف سنتز کردند. در سال ۲۰۰۹، تابا و همکارانش [۱۲] با استفاده از پیش‌ماده تیتانیا و ساکارز، ذرات TiC حدود 30 نانومتر تهیه کردند. در سال ۲۰۱۵ احیای کربوترمال تیتانیا در حضور منابع مختلف

(مقاومت الکتریکی در 20°C : $68 \mu\Omega\cdot\text{cm}$ ثابت هال در 20°C : $10^{-4} \text{ cm}^3/\text{A}\cdot\text{s}$) و حرارتی خوب (هدایت حرارتی در 20°C : $21 \text{ W/m}\cdot\text{K}$ ، نقطه ذوب بالا (3067°C) و سختی زیاد ($28 - 35 \text{ GPa}$)، مقاوم به سایش، دیرگذاری مناسب در مقایسه با سایر کاربیدها جایگاه بسیار ویژه‌ای در کاربردهای صنعتی و مخصوصاً نظامی دارد [۴و۳]. روش‌های آزمایشگاهی و صنعتی مختلفی جهت سنتز کاربیدها به کار برده شده است. اما رویکرد به روش‌های شیمیایی به دلیل دست‌یابی به همگنی ترکیب شیمیایی در مقیاس مولکولی که اهمیت زیادی در ساخت بدن‌های سرامیکی پیشرفت‌های دارد یکی از اهداف مهم صنعت سرامیک است. در روش‌های شیمیایی، می‌توان شیوه‌های دقیقی برای تهیه پودرهای سرامیکی در ابعاد زیرمیکرون بدون آگلومره شدن در نظر گرفت. در این میان، روش سل ژل به عنوان یکی از روش‌های معمول شیمیایی مطرح است. در این روش می‌توان پودرهای سرامیکی را در ابعاد 100 تا 1000 نانومتر تولید کرد. در این روش، مواد پودری بسیار خالص با استفاده از مواد پیش سازنده غیر آلی یا آلی فلزی (آلکوکسیدها) تولید می‌شوند [۵]. سل ژل فرآیندی شیمیایی است و شدیداً وابسته به عوامل کنترل کننده سنتز است که اگر این عوامل در حین فرآیند به خوبی قابل کنترل نباشند بر خواص محصول بسیار مؤثر خواهند بود.

در هنگام تهیه سل یکی از مهم‌ترین عوامل قابل کنترل، عامل pH است به عنوان مثال در دهه 90 میلادی برینکر و همکارانش [۶] مجموعه‌ای از عوامل مؤثر بر سنتز ذرات اکسیدی به روش سل ژل تهیه کردند و نقش pH را در فرآیند تولید این ذرات به خوبی بررسی شده است. دما عامل



حرارتی خوب (145 W/m.K) در صنایع مختلف (قطعات پمپ، مبدل‌های حرارتی و پره‌های سرامیکی و...) دارای کاربردهای متعدد است [۲]. مواد سرامیکی کاربیدی مثل کاربید تیتانیوم مواد پیشرفت‌های با خواص استثنایی هستند که به دلیل، هدایت الکتریکی مقاومت الکتریکی در 20°C : $68 \mu\Omega.\text{cm}$ ، ثابت هال در 20°C : $15 \times 10^{-4} \text{ cm}^3/\text{A.s}$ و حرارتی خوب (هدایت حرارتی در 20°C : 21 W/m.K ، نقطه ذوب بالا (3067°C) و سختی زیاد (35 GPa - 28 GPa)، مقاوم به سایش، دیرگدازی مناسب در مقایسه با سایر کاربیدها جایگاه بسیار ویژه‌ای در کاربردهای صنعتی و مخصوصاً نظامی دارند [۳-۴]. روش‌های آزمایشگاهی و صنعتی مختلفی جهت سنتر کاربیدها به کار برده شده است. اما رویکرد به روش‌های شیمیایی به دلیل دست‌یابی به همگنی ترکیب شیمیایی در مقیاس مولکولی که اهمیت زیادی در ساخت بدنه‌های سرامیکی پیشرفت‌هه دارد یکی از اهداف مهم صنعت سرامیک است. در روش‌های شیمیایی، می‌توان شیوه‌های دقیقی برای تهیه پودرهای سرامیکی در ابعاد زیرمیکرون بدون آگلومره شدن در نظر گرفت. در این میان، روش سل ژل به عنوان یکی از روش‌های معمول شیمیایی مطرح است. در این روش می‌توان پودرهای سرامیکی را در ابعاد ۱۰ تا ۱۰۰ نانومتر تولید کرد. در این روش، مواد پودری بسیار خالص با استفاده از مواد پیش سازنده غیر آلی یا آلی فلزی (آلکوکسیدها) تولید می‌شوند [۵]. سل ژل فرآیند شیمیایی است و شدیداً وابسته به عوامل کنترل کننده سنتز است که اگر این عوامل در حین فرآیند به خوبی قابل کنترل نباشند بر خواص محصول بسیار مؤثر خواهند بود.

کربنی صورت گرفته است [۱۳ و ۱۴]. تاکنون مطالعات محدودی در مورد ساخت کامپوزیت‌های سیستم SiC-TiC انجام شده و خواص آن‌ها کمتر مورد بررسی قرار گرفته است. هدف از تولید کامپوزیت SiC-TiC دست‌یابی به کامپوزیت‌هایی با ترکیبی از خواصی چون مقاومت به خوردگی و اکسیداسیون خوب، مقاومت به شوک حرارتی و چقرمگی شکست بالا حاصل از SiC همراه با خواصی چون سختی و مقاومت به سایش بالا حاصل از TiC بود. امروزه استفاده از روش‌های جدید به ویژه روش سل ژل در این زمینه اهمیت بسیاری یافته است. در فرآیند سنتز نانو ذرات و نانو کامپوزیت‌ها به روش سل ژل همواره می‌توان از قابلیت‌های شیمیایی کلوبیدها به خوبی استفاده نمود.

در تحقیق حاضر نانو پودر کامپوزیتی SiC-TiC به روش سل ژل و احیای کربوترمال با خلوص زیاد و با استفاده از تترا ایزوپروپوکساید تیتانیوم، تترا اتیل اتوکسی سیلان و ساکارز سنتز شد.

امروزه اهمیت و کاربرد کاربیدهای دیرگداز سریعاً در حال رشد است و این نه تنها از جنبه تجاری بلکه براساس کاربردهای دیرگدازی و مقاومت سایشی آن‌ها از قبیل ابزارهای برشی و سایندها است. این کاربیدها دارای سختی بالا ($1810-3928^\circ\text{C}$ ، نقطه ذوب بالا ($1810-3928^\circ\text{C}$) و مقاوم به شوک حرارتی می‌باشند [۱]. کاربید سیلیسیم به دلیل خواص منحصر به فردی نظیر نقطه ذوب بالا (2545°C)، مقاومت به اکسیداسیون خوب، مقاومت به خوردگی زیاد (در محیط‌های جوشان HF , H_2SO_4 , HCl , HF+HNO_3 و محلول غلیظ سود سوزآور هیچ گونه خوردگی نشان نمی‌دهد)، مقاومت به سایش و هدایت



احیای کربوترمال پودرهای تیتانیا و رزین، ذرات TiC را در دمای 1500°C و در زمان‌های مختلف سنتر کردند. در سال ۲۰۰۹، تابا و همکارانش [۱۲] با استفاده از پیش‌ماده تیتانیا و ساکاراز، ذرات TiC حدود 30 نانومتر تهیه کردند. در سال ۲۰۱۵ احیای کربوترمال تیتانیا در حضور منابع مختلف کربنی صورت گرفته است [۱۳ و ۱۴]. تاکنون مطالعات محدودی در مورد ساخت کامپوزیت‌های سیستم SiC-TiC محدودی در مورد ساخت کامپوزیت‌های سیستم SiC-TiC انجام شده و خواص آن‌ها کمتر مورد بررسی قرار گرفته است. هدف از تولید کامپوزیت SiC-TiC دستیابی به کامپوزیت‌هایی با ترکیبی از خواصی چون مقاومت به خوردگی و اکسیداسیون خوب، مقاومت به شوک حرارتی و چقیرمگی شکست بالا حاصل از SiC همراه با خواصی چون سختی و مقاومت به سایش بالا حاصل از TiC بود. امروزه استفاده از روش‌های جدید به ویژه روش سل ژل در این زمینه اهمیت بسیاری یافته است. در فرآیند سنتر نانو ذرات و نانو کامپوزیت‌ها به روش سل ژل همواره می‌توان از قابلیت‌های شیمیایی کلودیدها به خوبی استفاده نمود.

در تحقیق حاضر نانو پودر کامپوزیتی SiC-TiC به روش سل ژل و احیای کربوترمال با خلوص زیاد و با استفاده از تترا ایزوپرپوکساید تیتانیوم، تترا اتیل اتوکسی سیلان و ساکاراز سنتر شد.

۲- فعالیت‌های تجربی

بمنظور ساخت سل از تترا ایزوپرپوکساید تیتانیوم ساخت شرکت PANREAC SINTESIS (خلوص: ۹۷٪)، تترا اتیل اتوکسی سیلان ساخت شرکت MERCK آلمان (خلوص ۹۹٪)، ایزوپرپانول، اتانول، اسید نیتریک، ساکاراز

در هنگام تهیه سل یکی از مهم‌ترین عوامل قابل کنترل، عامل pH است به عنوان مثال در دهه ۹۰ میلادی برینکر و همکارانش [۶] مجموعه‌ای از عوامل مؤثر بر سنتر ذرات اکسیدی به روش سل ژل تهیه کردند و نقش pH را در فرآیند تولید این ذرات به خوبی بررسی شده است. دما عامل دیگری که در سنتر این ذرات بسیار حائز اهمیت است، و در مراحل مختلف سنتر بر تشکیل ذرات و خواص نهایی آن‌ها نقش تعیین کننده‌ای دارد. به عنوان مثال سرویس و همکارانش [۷] با استفاده از مواد پیش سازنده سل سیلیکا و منبع کربنی ساکاروز با تغییر دما توانستند ذرات $\beta\text{-SiC}$ را با دانه‌بندی ($0.2\mu\text{m}$) با درجه خلوص بالا سنتر کنند. همینطور رامان و همکاران [۸] با استفاده از پیش سازنده‌های مختلف و شرایط دمایی گوناگون ذرات $\beta\text{-SiC}$ را سنتر کردند. نجفی و همکاران [۹] در سال ۲۰۱۱ پودر $\beta\text{-SiC}$ با پیش سازنده‌های تترا اتوکسی سیلان به عنوان منبع سیلیکون و رزین فولیک به عنوان منبع کربنی، در دمای 1500°C با دانه بندی ($30-20$ نانومتر) تهیه کردند. آنچه که در مورد نوع فرآیند در تولید ذرات کاربید تیتانیوم مورد بررسی قرار گرفته است بیشتر شامل روش احیای کربوترمال پودرهای تیتانیا و منابع مختلف کربنی است و در مورد فرآیند سنتر کاربید تیتانیوم به روش سل ژل، تحقیقات اندکی صورت گرفته است به عنوان مثال CaC_2 و همکاران [۱۰]، ذرات TiC را با استفاده از پیش سازنده تیتانیا در حضور گاز هیدروکربنی (C_3H_6) سنتر کردند که در این فرآیند در اثر تجزیه گاز C_3H_6 ، کربن بر روی سطح ذرات تیتانیا رسوب کرده و ذرات TiC با خلوص بالایی بدست آمدند. همچنین وو و همکاران [۱۱] با استفاده از روش



خشک شدند. پودر ژل‌های خشک شده تحت احیای کربوترمال در دمای 1500°C به مدت ۱ ساعت و اتمسفر آرگون قرار گرفتند. آنالیز حرارتی همزمان STA (مدل STA504 تحت اتمسفر آرگون) تا درجه 1300°C در اتمسفر آرگون با نرخ گرمایش $10^{\circ}\text{C}/\text{min}$ انجام شد. به منظور شناسایی و تشخیص فازها از آنالیز فازی XRD استفاده شد. دستگاه پراش اشعه ایکس به کار رفته مدل Kv PW 1800 PHILIP با لامپ CuK α و ولتاژ کاربردی ۲۵ است. جهت بررسی مورفولوژی و اندازه ذرات از دستگاه FESEM (مدل دستگاه III MIRA) استفاده شد.

۳- نتایج و بحث

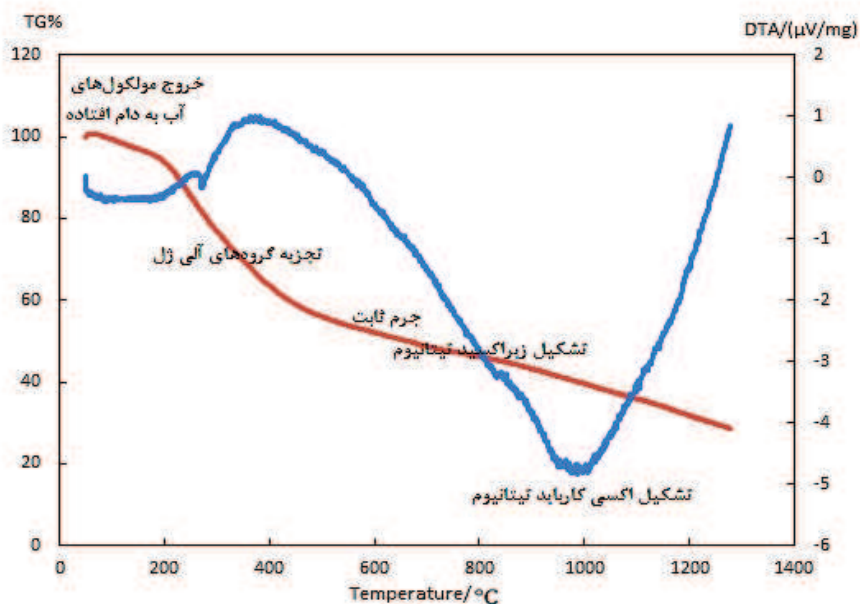
شکل ۱ آنالیز TG و DTA ژل نمونه TS1 را نشان می‌دهد. همانگونه که ملاحظه می‌شود، اولین مرحله کاهش وزن در محدوده دمایی $175-90^{\circ}\text{C}$ رخ می‌دهد که ناشی از خروج مولکول‌های آب به دام افتاده است و حدود ۴٪ افت وزنی محاسبه شده است. دومین مرحله کاهش وزن در محدوده دمایی $400-200^{\circ}\text{C}$ است که تجزیه گروه‌های آلی (OH, COOH, ...) رخ می‌دهد و در حدود ۳۰/۲۵٪ ژل کاهش وزنی محاسبه شده است که با نتایج آنالیز حرارتی ارائه شده توسط نجفی و همکارانش [۱۷] مطابقت دارد. با توجه به منحنی‌ها جرم سیستم در بازه دمایی $850-500^{\circ}\text{C}$ ثابت است. طبق منحنی DTA در دمای حدود 850°C یک پیک گرمائی مشاهده می‌شود که با توجه به دمای تشکیل زیراکسیدهای تیتانیا، مربوط به تشکیل Ti_4O_7 می‌باشد پس می‌توان نتیجه گرفت که در بالای 850°C واکنش‌های احیای کربوترمال آغاز می‌شوند. در دمای حدود 980°C

(شکر صنعتی) و آب استفاده شد. جهت تهیه نمونه‌ها با نسبت مولی $\text{Ti/Si}=0/25, 0/5, 0/75$ ، ابتدا نسبت مشخصی از TEOS، TTIP، آیزوپروپانول، اتانول، ساکارز و آب محاسبه می‌شود. به گونه‌ای که نسبت $\text{C/Ti}=4$ ، $\frac{\text{TTIP}}{\text{IPA}}=0.45 \text{ mol/lit}$ و همچنین نسبت $\text{C/Si}=4$ ، $\frac{\text{H}_2\text{O}}{\text{IPA}}=4.5 \text{ mol/lit}$ ، $\frac{\text{TEOS}}{\text{EtOH}}=8.6 \text{ mol/lit}$ باشد. نمونه $\text{Ti/Si}=0/25$ با کد TS1 با $\text{Ti/Si}=0/5$ با کد TS2 و نمونه $\text{Ti/Si}=0/75$ با کد TS3 کدگذاری شدن. ابتدا اتانول را در بشرطه و سپس در حالی که توسط همزن با سرعت پایینی هم زده می‌شود. TEOS به آرامی اضافه و یک سل شفاف حاصل می‌شود. میزان ساکارز مصرفی توزین کرده و در حجم آب محاسبه شده حل شده و بعد از اطمینان از انحلال کامل ساکارز در آب، سل حاصله به آرامی به سل اولیه اضافه می‌شود. سل بدست آمده به منظور رسیدن به همگنی و هیدرولیز مناسب، به مدت ۳۰ دققه توسط همزن مغناطیسی، هم زده شد. در این مرحله pH ثبت می‌شود. از آنجا که کیفیت و سرعت واکنش‌های هیدرولیز و تراکم متأثر از pH است، جهت تنظیم pH از کاتالیست اسید استفاده شد. از آنجا که در مراجع ۴-۳ pH گزارش شده است [۱۵ و ۱۶]، در این تحقیق برای کم کردن عوامل متغیر، pH در تهیه همه نمونه‌ها در محدوده ۴-۳ تنظیم می‌شود و پس از آن سل حاوی IPA و TTIP به سل هیدرولیز شده TEOS به آرامی افزوده می‌گردد. در ادامه سل کاملاً مخلوط شده و بعد از حدود ۶ ساعت به آرامی به حالت ژل کرم رنگی تبدیل شد. ژل‌های تهیه شده به مدت یک روز در دمای اتاق پیرسازی شده و سپس به مدت ۲۴ ساعت در دمای 110°C



حدود ۱۶/۲۳٪ محاسبه شد که با نتایج آنالیز حرارتی ارائه شده توسط پریس و همکارانش [۱۸] مطابقت دارد.

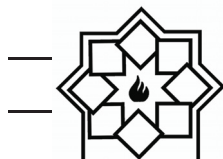
پیک گرمایی مشاهده می‌شود که مربوط به تشکیل اکسی کاربید تیتانیوم است. با افزایش دما تا ۱۳۰۰°C کاهش وزن



شکل ۱ - منحنی DTA-TG نمونه TS1.

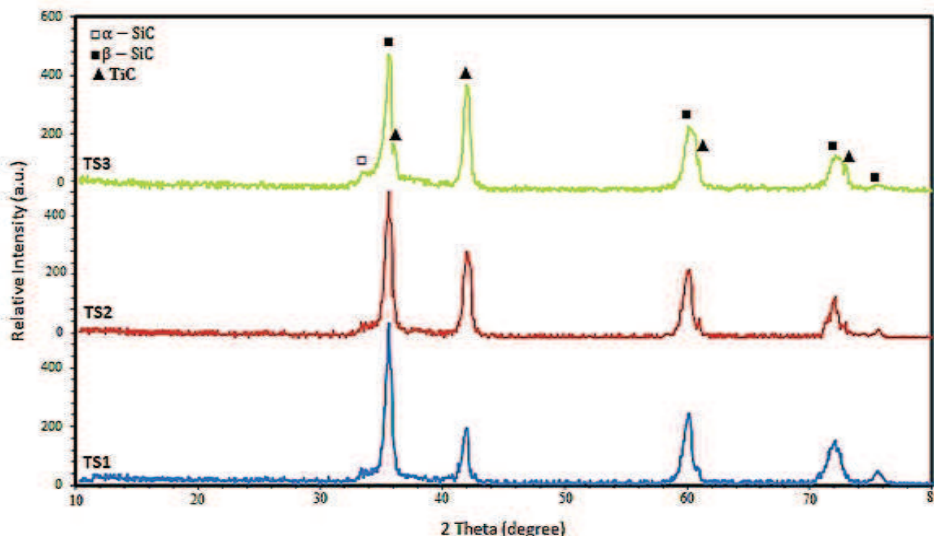
همانطور که مشاهده می‌شود، در نمونه‌های TS1، TS2 و TS3 فاز غالب SiC است پیک اصلی این فاز در $35/6^{\circ}$ و فاز TiC در $41/9^{\circ} \approx 2\theta \approx 41/9^{\circ}$ می‌باشد و فاز دیگری در الگوی پراش مشاهده نشد و نشان‌دهنده‌ی تکمیل احیای کربوترمال در دمای 1500°C و عدم وجود فازهایی نظیر SiO_2 ، TiO_2 و C است. براساس شکل ۲ با افزایش مقدار فاز TiC ، شدت پیک‌های این فاز در زوایای $41/9^{\circ}$ ، $40/9^{\circ}$ و $72/9^{\circ}$ افزایش و با کاهش مقدار فاز SiC ، شدت پیک‌ها در زوایای $35/6^{\circ}$ ، $35/6^{\circ}$ و $72/10^{\circ}$ و $72/10^{\circ}$ کاهش می‌یابد. لازم به ذکر است که نزدیک به پیک دسته صفحات $\{111\}$ SiC بین زوایای 33° و 35° ؛ پیک مربوط به چند ریختی‌های هگزاگونالی SiC که معمولاً به $\alpha\text{-SiC}$ هستند، مشاهده می‌شود. پارامتر شبکه

روند تحلیل حرارتی نمونه TS1 با نتایج بدست آمده توسط پریس و همکارانش [۱۹] کاملاً تطابق دارد. آن‌ها از الکوکسید تیتانیوم و ساکارز به روش سل ژل، کاربید تیتانیوم سنتز کردند. نتایج آن‌ها نشان می‌دهد در دماهای کمتر از 1000°C امکان تشکیل اکسی کاربید تیتانیوم و یا کاربید تیتانیوم وجود ندارد. در دمای 800°C تیتانیا به صورت آناتاز است و با افزایش دما تا 900°C ، فاز Ti_4O_7 تشکیل می‌شود و به صورت همزمان وجود دارند. در دمای حدود 1000°C فاز اکسی کاربید تیتانیوم شناسایی شده است سپس با افزایش دما، مکانیزم احیای کربوترمال پیشرفته می‌کند و در انتهای در دمای 1300°C کاربید تیتانیوم خالص حاصل شده است. آنالیز فازی نمونه‌ها در شکل ۲ نشان داده شده است.



دوفاز می‌شود. طبق انتظار، با تغییر نسبت Ti/Si ، نسبت فازهای نهایی تغییر کرده‌اند [۲۰-۲۲].

برابر $4/3480$ آنگستروم و پارامتر شبکه TiC برابر $4/3280$ است که باعث همپوشانی برخی پیک‌های این آنگستروم است.



شکل ۲- الگوی پراش نمونه‌ها با نسبت $Ti/Si=0/25, 0/25, 0/75$ سنتز شده در دمای $1500^{\circ}C$ تحت اتمسفر آرگون.

پیوستگی و اجتماع ذرات در طی سنتز کربوترمال در گستره دمایی ($1400-1500^{\circ}C$) باشد [۲۳ و ۲۴].

mekanizm تشکیل کاربید سیلیسیم از طریق سل ژل، شامل واکنش بین سیلیکا و منبع کربن در دماهای نسبتاً بالاست. واکنش کلی احیای کربوترمال به صورت زیر است [۲۵]:



واکنش‌های زیر نیز در حین احیای کربوترمال گزارش شده‌اند [۲۶]:



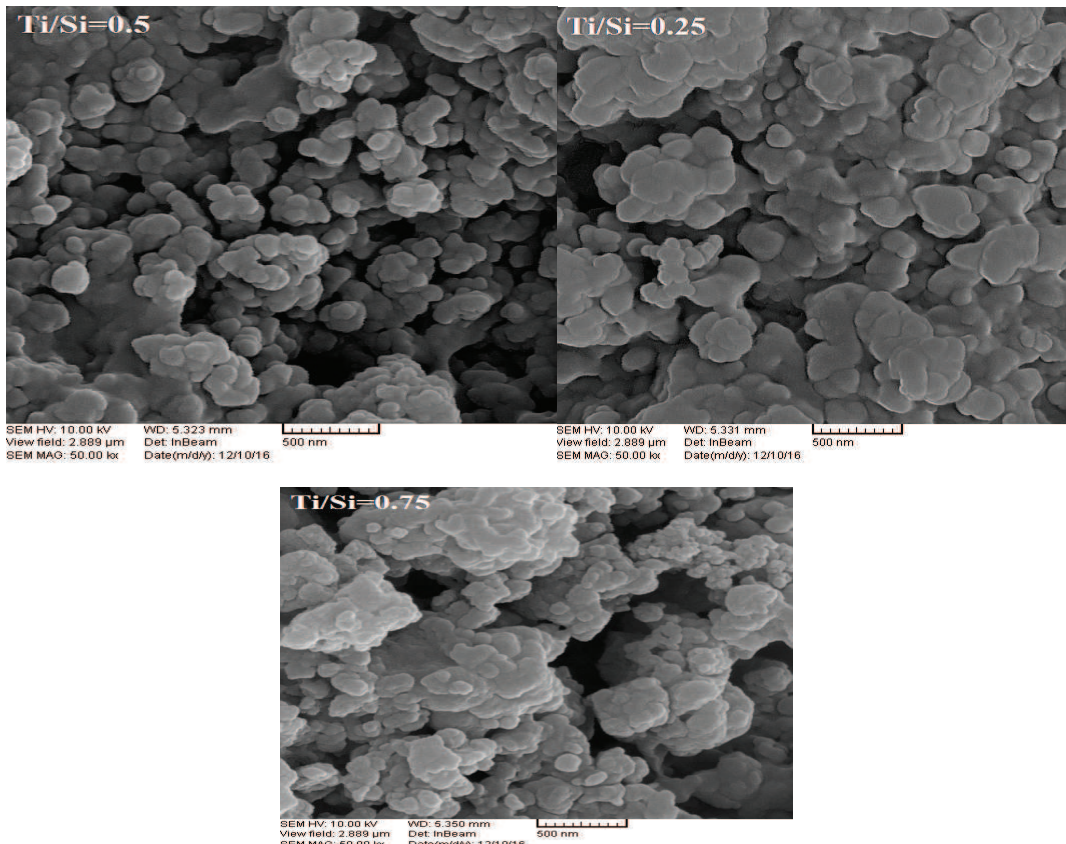
ریزساختار نمونه‌های TS1، TS2 و TS3 در بزرگنمایی $50000\times$ تهیه شده در دمای $1500^{\circ}C$ در شکل ۳ نشان داده شده است. همانگونه که مشاهده می‌شود در ریزساختار نمونه‌ها، اندازه ذرات بیش از 100 نانومتر است و ذرات آگلومر و درشت‌تری نیز وجود دارد. این ذرات درشت از ذرات نانومتری تشکیل شده‌اند. به دلیل دمای بالا ($1500^{\circ}C$) امکان زیستر ذرات در نمونه TS1 فراهم شده است. ذرات بصورت شبه کروی^۱ هستند و آگلومراسیون بالایی در نمونه‌ها اتفاق افتاده است. گزارش شده است که به دلیل وجود سیلیکای مذاب بر روی ذرات کاربیدی؛ ممکن است عامل تفجوشی و اتصال ذرات به هم در دمای $1500^{\circ}C$ باشد. وجود فاز مذابی مانند سیلیکا می‌تواند مکانیزم اصلی به هم

^۱ مورفولوژی نهایی محصول به تبعیت از شکل ذره کربن، شبه کروی می‌باشد.



مستقیم SiO_2 در سطح ذرات کربن، وقتی که نقاط تماسی بین C/Si مصرف شد، تشکیل می‌شود و سیلیکون به شکل SiO_2 خودش را به ذرات کربن می‌رساند. بنابراین ذرات SiC با مورفولوژی شبیه کروی به تعیت از ذرات کربن تولید می‌شوند [۲۶].

واکنش SiO_2 از نقاطی که با کربن در تماس است تحت واکنش حالت جامد آغاز می‌شود و CO و SiO گازی آزاد می‌کند. واکنش بین SiO_2 و CO منجر به تشکیل SiO_2 بیشتری می‌شود. دی اکسید کربن نیز مجدداً مطابق CO_2 واکنش CO به CO تبدیل می‌شود. SiC از طریق واکنش



شکل ۳- تصاویر SEM از ریزساختار نمونه‌ها با نسبت‌های $\text{Ti/Si}=0/25,0/5,0/75$.

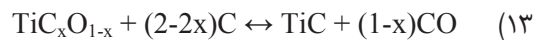
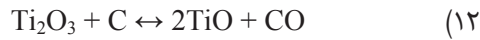
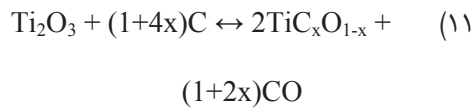
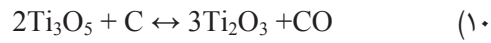
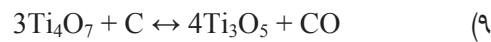
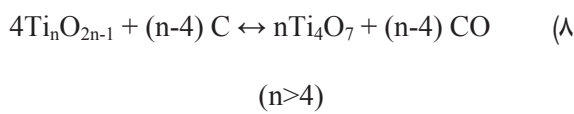
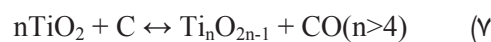
مکانیسم واکنش است. در واقع در دمای بالا دو مکانیسم رشد همزمان اثر می‌کند؛ ذرات شبیه کروی در اثر واکنش SiC گاز SiO و کربن جامد تشکیل می‌شوند و ویسکرهای CO از طریق واکنش گاز SiO و گاز CO تولید می‌شوند. براساس تحقیقات استورمز [۲۸]، وی و همکارانشان [۲۹] جهت سنتز فاز TiC از منابع اکسیدی در حضور کربن، ابتدا

در دماهای بالاتر، SiC از طریق (g) و SiO (g) تشکیل می‌شود. در این شرایط مورفولوژی محصول، متمایل به تشکیل ویسکر است. این واکنش از نظر ترمودینامیکی زمانی مطلوب است که فشار جزئی CO بیشتر از 0.27 MPa باشد [۲۷]. بنابراین می‌توان گفت، دلیل این تغییر در مورفولوژی، تغییر در



این محدوده دمایی است. در دمای 1500°C و تحت اتمسفر آرگون، نانو کامپوزیت SiC-TiC از واکنش سیلیکا، تیتانیا و کربن تشکیل می‌گردد. اندازه ذرات بیش از ۱۰۰ نانومتر می‌باشد.

زیراکسیدهای^۱ تیتانیوم طبق واکنش‌های زیر تشکیل شوند.



به منظور سنتز فاز TiC با خلوص بالا، کربن موجود در ساختار بایستی به مقدار کافی وجود داشته باشد و همچنین محیط احیاء عاری از اکسیژن باشد؛ در این صورت زیراکسیدهای تیتانیوم احیاء و در نهایت فازهای TiO یا اکسی کارباید تیتانیوم تشکیل و در اثر واکنش این فازها با کربن، فاز TiC حاصل می‌شود.

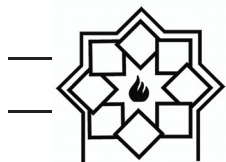
۴- نتیجه‌گیری

در این تحقیق، نانو پودر کامپوزیتی SiC-TiC با استفاده از روش سل ژل و احیای کربوترمال پودر ژل خشک شده حاوی سیلیکا و تیتانیا، سنتز شده است. نتایج حاصل از آنالیز حرارتی ژل، نشان‌دهنده خروج و تجزیه گروه‌های آلی در محدوده دمایی $400-200^{\circ}\text{C}$ و کربونیزه شدن ساکارز در

¹.Suboxides



- 56,1997.
- [11] Y.C. Woo, H.J. Kang, D J. Kim,"Formation of TiC particle during carbothermal reduction of TiO₂", Journal of the American Ceramic Society, Vol 27, pp.719–722, 2007.
- [12] S.T. Bae, H. Shin, H. S. Jung, and K. S.Hong, "Synthesis of Titanium Carbide Nanoparticles with a High Specific Surface Area from a TiO₂ Core–Sucrose Shell Precursor", Journal of the American Ceramic Society, Vol 92, pp.2512–2516.2009.
- [13] H.Y. SUN, X. KONG, W.SEN, G.Y. LIU and Z.YI, "Synthesis and characterization of TiC powders by carbothermal reduction method in vacuum", Advanced Materials Research, Vol. 1089,pp 147-151, 2015.
- [14] X. Ren, Y. Liu, S. Chen, L. Hou, G. Wang, Y. Teng," The Synthesis of TiC Powders by Carbothermal Reduction Method in Vacuum", Advanced Materials Research, Vol 1064,pp 62-65, 2015.
- [15] R. F. S. Lenza, W.L. Vasconcelos, "Synthesis of Titania-Silica Materials by Sol-Gel", Materials Research, Vol. 5, No. particles and monolithic gels prepared by the sol-gel method", Physicochemical and Engineering Aspects, Vol 139, pp. 163–170, 1998.
- [6] Brinker, Scherer, "Sol-Gel Science", Elsevier, 1990.
- [7] Lj. CroviC, S. K. MilonjiC & S. P. Zec, "A Comparison of Sol-Gel Derived Silicon Carbide Powders from Saccharose and Activated Carbon", Ceramics International, Vol 21, pp. 271-276, 1995.
- [8] V. RAMAN, O.P. BAHL, U. DHAWAN," Synthesis Of Silicon Carbide through the Sol Gel process from different precursors", Journal of Materials Science, Vol 30, pp.2686-2693, 1995.
- [۹] ابوالحسن نجفی، فرهاد گلستانی فرد ، حمیدرضا رضایی و ناصر احسانی، "سنتز و بررسی خواص پودر نانومتری سیلیکون کارباید به روش سل ژل"، فصلنامه علمی پژوهشی فرآیندهای نوین در مهندسی مواد / سال پنجم / شماره سوم / پاییز ۱۳۹۰.
- [10] R. Koc and J. S. Folmer," Synthesis of Submicrometer Titanium Carbide Powders", Journal of the American Ceramic Society, Vol 80, pp.952-



- Beta Silicon Carbide", AIChE Journal, Vol. 39, No. 3, 1993.
- [21] C. Vix-Gutesrl and P. Ehrburger,"Effect of The Properties of a carbon substrate on its reaction with silica for silicon carbide formation", Carbon, Vol. 35, No. 10-11, pp. 1587-1592,1997.
- [22] C. Vix-Guterl, B. McEnaney and P. Ehrburger," SiC Material Produced by Carbothermal Reduction of a Freeze Gel Silica-carbon Artefact", Journal of the European Ceramic Society, Vol 19,pp. 427–432, 1999.
- 23- V.M. Kevorkijan, M.Komac, D.Kolar," Low-temperature synthesis of sinterable SiC powders by carbothermic reduction of colloidal SiO_2 ", Journal of materials Science, Vol 27, pp.2705-2712, 1992.
- 24- C. GRESKOVICH and J. H. ROSOLOWSKI, " Sintering of Covalent Solids", Journal of the American Ceramic Society, Vol59, pp. 336-343, 1976.
- 25- Hu, J., et al., "Synthesis of SiC-TiC composite powders by carbothermal reduction and their sintering behavior", Journal of Ceramic Processing Research, Vol 14, pp. 77-81, 2013.
- 4, pp.497-502, 2002.
- [16] احسان اولیائی، حسین عبدالزاده، شهرام رایگان، حمیدرضا بهاروندی، ناصر احسانی، "اثر pH سل اولیه بر مورفولوژی و اندازه ذرات نانو پودر کاربید سیلیکون (SiC) سنتز شده به روش سل ژل"، دومین همایش مشترک انجمن مهندسین متالورژی ایران و جامعه ریخته گران ایران.
- [17] A. Najafi, F. Golestanifard, H. R. Rezaie, N. Ehsani," A study on sol-gel synthesis and characterization of SiC nano powder", J Sol-Gel Sci Technol, Vol 59, pp. 205–214, 2011.
- [18] H. Preiss, L. M. Berger and D. Schultze, "Studies on the Carbothermal Preparation of Titanium Carbide from Different Gel Precursors", Journal of the European Ceramic Society, Vol 19, pp.195–206, 1999.
- [19] H.Preiss, L.-M. Berger and D. Schultze, "Studies on the carbothermal preparation of titanium carbide from different gel precursors", Journal of the European Ceramic Society, Vol 19, pp. 195-206, 1999.
- [20] A.W. Weimer, K. J. Nilsen, G. A. Cochran, and R.P. Roach," Kinetics of Carbothermal Reduction Synthesis of



- 26- Weimer, A.W, et al., " Kinetics of carbothermal reduction synthesis of beta silicon carbide", AIChE Journal, Vol39, pp.493-503, 1993.
- 27- Zheng, Y., et al., "Synthesis of a novel mesoporous silicon carbide with a thorn-ball-like shape", Scripta materialia, Vol55, pp. 883-886, 2006.
- 28- Storms, E.K., " The Refractory Carbides", Academic Press I N C. (London) L T D, Vol. 2, 1967.
- 29- Wei, S., Xu, Bao-Qiang, Bin, Y, Sun, Hong-Yan, Song, Jian-Xun, "Preparation of TiC powders by carbothermal reduction method in vacuum", Transactions of Nonferrous Metals Society of China, Vol 21, pp. 185-190, 2011.